

دانشور

پژوهش

اثر متفورمین بر یادگیری و حافظه فضایی در مدل تجربی بیماری آلزایمر القا شده با بتا آمیلوئید در موش صحرایی

نویسنده‌گان: تاجمه‌ه ممینی^۱، مهدی نصیری^۲، جمشید نارنجکار^۱، مهرداد روغنی^{۳*}

- گروه فارماکولوژی دانشکده پژوهشی دانشگاه شاهد، تهران.
- دانشکده پژوهشی دانشگاه شاهد، تهران.
- مرکز تحقیقات نوروفیزیولوژی-دانشگاه شاهد، تهران.

E-mail: mehjour@yahoo.com

* نویسنده مسئول: مهرداد روغنی

چکیده

مقدمه و هدف: بیماری آلزایمر یک بیماری پیش‌رونده و تحلیل‌برنده سلول‌های مغز به علت انباشتگی دو پروتئین بتا آمیلوئید و تأؤ است و فعلاً درمان اساسی هم ندارد. متفورمین یک داروی پایین‌آورنده قند خون می‌باشد که در درمان و کنترل دیابت قندی نوع ۲ کاربرد دارد. براساس اثرات حفاظت عصبی، ضد التهابی، کاهش‌دهنگی تجمع بتا‌امیلوئید و اثرات ضد استرس اکسیدانتیو این دارو در بافت عصبی، هدف مطالعه کنونی، بررسی اثر درمان با متفورمین بر مدل حیوانی آلزایمر القا شده با بتا‌امیلوئید در موش صحرایی بود.

دوماهنامه علمی-پژوهشی
دانشگاه شاهد
سال بیست و سوم-شماره ۱۲۲
اردیبهشت ۱۳۹۵

مواد و روش‌ها: در این تحقیق از موش‌های صحرایی نر به تعداد ۳۲ سر استفاده شد. حیوانات به صورت تصادفی به ۴ گروه سالم (شم) کنترل، گروه سالم (شم) دریافت‌کننده متفورمین، گروه بیمار (ضایعه) کنترل و گروه بیمار (ضایعه) تحت درمان با متفورمین تقسیم شدند. گروه‌های دوم و چهارم، به مدت یک هفته قبل از جراحی، روزانه تحت درمان متفورمین به صورت داخل صفاری قرار گرفتند. در دو گروه ضایعه، بیماری آلزایمر با جراحی استرئوتاکس و تزریق داخل هیپوکمپ بتا‌امیلوئید در موش القا شد. در دو گروه شم همین مراحل انجام، ولی نرمال سالین به داخل هیپوکمپ تزریق شد. پس از کذشت سه هفته، برای ارزیابی یادگیری و حافظه حیوانات از روش‌های رفتار اجتنابی غیرفعال و ماز ۷ استفاده شد.

دریافت: ۱۳۹۴/۱۲/۱۰
آخرین اصلاح‌ها: ۱۳۹۵/۰۱/۲۴
پذیرش: ۱۳۹۵/۰۱/۱۶

نتایج: در آزمون رفتار اجتنابی، گروه ضایعه نسبت به گروه شم دارای میانگین میزان تأخیر اولیه کمتری بودند که این کاهش معنی دار نبود. در گروه ضایعه دوم، افزایش غیرمعنی دار میانگین میزان تأخیر اولیه، در مقایسه با گروه ضایعه دیگر وجود داشت. در گروه شم نیز که همان میزان متفورمین را دریافت کرده بودند نیز کاهش غیرمعنی دار زمان تأخیر اولیه در مقایسه با گروه شم به دست آمد. در آزمون اجتنابی غیرفعال که تأخیر در حین عبور را در موش‌های صحرایی بررسی می‌کرد، کاهش معنی دار تأخیر در حین عبور در گروه آلزایمری نسبت به گروه شم، در پایان کار به خوبی مشاهده گردید ($P < 0.01$)، هرچند این کاهش به طور غیرمعنی دار در گروه آلزایمری دوم نیز نسبت به گروه شم وجود داشت. به علاوه، تفاوت بین دو گروه آلزایمری از نظر آماری معنی دار بود ($P < 0.05$).

نتیجه‌گیری: درمان مزمن متفورمین باعث افزایش حافظه در آزمون اجتنابی غیرفعال شاتل باکس شده؛ ولی اثری بر مدل حافظه فضایی در موش صحرایی نر ندارد. احتمال دارد که داروی ضد دیابتی متفورمین در درمان بیماری آلزایمر و انواع دماغی در انسان کاندید مناسبی باشد.

واژگان کلیدی: بتا‌امیلوئید، بیماری آلزایمر، متفورمین، رفتار اجتنابی غیرفعال، حافظه فضایی

مقدمه

و سلجلین مورد استفاده قرار می‌گیرند. خوشبختانه این داروها با سایر داروهای درمانی تداخلی ندارند و می‌توان از آنها به راحتی به همراه دیگر داروها استفاده کرد. در کنار این درمان‌ها، داروهای روان‌پزشکی برای درمان علامتی اختلالات روانی همراه آلزایمر نیز به کار می‌روند (۴). متفورمین یک داروی پایین‌آورنده قند خون می‌باشد که در درمان و کنترل دیابت قندی نوع ۲ کاربرد دارد. در چند سال اخیر، اثرات حفاظت عصبی، ضد التهابی در بافت عصبی و کاهش‌دهنده تجمع بتا آمیلوئید و ضد استرس اکسیدانتیو این ماده اثبات شده است (۹-۷). شواهد زیادی وجود دارد که نشان می‌دهند انسولین و سیگنانالینگ انسولین برای بقای نورون‌ها مهم می‌باشند. با مطالعه‌های انجام شده بر روی مغز بیماران آلزایمری، کاهش بیان گیرنده انسولین در آن‌ها نشان داده شده است. در حال حاضر این موضوع که بیماری آلزایمر با اختلال در سیگنانالینگ انسولین و متابولیسم گلوکز در مغز مرتبط است، به طور رسمی شناخته شده است تا اینکه حتی بیماری آلزایمر را نوع خاصی از دیابت نامیده و آن را دیابت نوع ۳ می‌خوانند. با توجه به بعضی اطلاعات ضدونقیض درباره اثر گیرنده انسولین در بیماری آلزایمر و همچنین با توجه به تأثیرات محافظتی متفورمین بر روی اعصاب در کنار بعضی نتیجه‌های نامعلوم این ماده در وضعیت مدل‌های آلزایمر، بر آن شدیم تا اثر این ماده را بر میزان بیماری‌زایی آلزایمر در مدل‌های این بیماری ارزیابی نماییم. هدف بررسی حاضر، بررسی اثر متفورمین بر یادگیری و حافظه فضایی در مدل تجربی بیماری آلزایمر در موش صحرایی بود.

مواد و روش‌ها

در این تحقیق از موش‌های صحرایی نر نژاد ویستار در محدوده وزنی ۲۲۰ تا ۲۷۰ گرم به تعداد ۳۲ سر استفاده شد. موش‌ها از انستیتو پاستور خریداری شد و در حیوان‌خانه دانشکده پزشکی شاهد با شرایط

بیماری آلزایمر، یک بیماری پیش‌رونده و تخریب‌کننده بافت مغز است که با کاهش پیش‌رونده عملکرد شناختی و تغییر رفتار تظاهر پیدا می‌کند و شایع‌ترین بیماری نورودئزنتایو در دنیاست (۱) و تاکنون درمان ریشه‌کننده‌ای ندارد. بیماری آلزایمر یک بیماری چندعاملی می‌باشد که از جمله می‌توان به ژنتیک و عوامل محیطی اشاره کرد. سن و جهش‌های ژنی، بیشترین عامل تعیین‌کننده هستند. عوامل ژنتیکی شامل جهش در ژن‌های پیش‌ساز آمیلوئید و پرسینیلین ۲۱ که منجر به آلزایمر زودهنگام خانوادگی می‌شود (۲). برطبق اطلاعات انجمن آلزایمر ایران، آمار دقیقی از مبتلایان به آلزایمر در ایران وجود ندارد و احتمال می‌رود حدود ۵۰۰ هزار نفر در ایران مبتلا به آلزایمر باشند (۳). دو مشخصه اصلی این بیماری، پلاک‌های خارج سلولی آمینواسید آمیلوئید بتا ۴۲ و درهم‌تندگی نوروفیبریلاری داخل سلولی می‌باشد (۴). پلاک‌های آمیلوئیدی عمدتاً مخلوط هستند و عموماً از پروتئین آمیلوئید بتا (A β) تشکیل یافته‌اند که از خاصیت پروتولیتیک پروتئین پیش‌ساز آمیلوئید به دست می‌آید (۵). در حالت عادی مقدار این قطعات در سلول کم است و به سرعت تجزیه می‌شود؛ اما اگر در پروتئوم سلول‌های عصبی این تعادل بر هم بخورد و مقدار این قطعات افزایش یابد، ساختارهای پروتئینی کروی و درنتیجه آلزایمر ایجاد می‌شود (۶). درمان اصلی مراحل اولیه آلزایمر براساس موارد ذکر شده در بالا، براساس کولین استرازاها می‌باشند. این درمان باعث کاهش هیدرولیز استیل کولین‌های آزاد شده از پایانه‌های شکاف عصبی می‌شوند که منجر به تحریک پایانه‌های عصبی کولینزیک می‌شود. اکنون ۳ دارو از این دسته از داروها شیوع پیدا کرده‌اند که داروهای دونپزیل، ریواستیگمین، گالانتامین نام دارند. درمورد آلزایمر پیشرفت و شدید، مماثلین اولین دارویی است که از دسته اث-متیل-دی‌اسپارتات-آناتاگونیست‌ها به کار برده شد. درمورد آخرین مرحله‌های آلزایمر آلفا توکوفرول

آماده‌سازی حیوان، شکافی بر روی پوست سر حیوان ایجاد کرده و سطح استخوان جمجمه را کاملاً تمیز و خشک کردیم. در این حالت، محل برگما و درز سهمی به خوبی قابل تشخیص بود. پس از تعیین نقطه برگما در محل تلاقی درز تاجی (محل اتصال استخوان‌های پاریتال و فرونتال) و درز سهمی (درز بین استخوان‌های پاریتال) مختصات محل‌های موردنظر برای تزریق داخل هیپوکامپی در دو طرف تعیین شد. طبق اطلس پاکسینوس، مختصات‌های مذکور برابر بوده‌اند با: Anteroposterior: ±2 Lateral: -2.8 و Deep: -3.5 علامت‌گذاری نقاط موردنظر، این نقاط با استفاده از متنه دستی سوراخ شدند. در این مرحله با استفاده از سرنگ هامیلتون تزریق داخل هیپوکامپی انجام شد. تزریق به‌گونه‌ای انجام شد که در هر دقیقه، یک میکرولیتر از مایع موردنظر تزریق گردید. پس از اتمام تزریق، حدود پنج دقیقه سرنگ در مختصات موردنظر باقی ماند تا مایع تزریق شده پس زده نشود. سپس با سرعت ۱ میلی‌متر در دقیقه سرنگ هامیلتون از محل خود خارج شد. پس از اتمام تزریق، محل جراحی را بخیه زده و استریل نمودیم.

آزمایشات رفتاری

بررسی حافظهٔ فضایی با استفاده از Y-maze

این دستگاه دارای سه بازوی عمود بر هم که هر کدام با یکی از حروف A، B و C علامت‌گذاری شده‌اند، بود. بازوها طولی برابر با ۳۰ سانتی‌متر داشتند. ارتفاع بازوها ۳۰ سانتی‌متر و پهنای هر کدام ۱۵ سانتی‌متر بود. هر سه بازو به‌وسیله یک صفحه سه‌گوش با اضلاع برابر با ۱۵ سانتی‌متر بهم متصل شده بودند. سنجش روند حافظه از نوع بازنایختی (Recognitive) به‌وسیله ماز Y در اتفاق تاریک و بدون سروصدای رفت‌وآمد انجام شد و برای هر موش، تنها یکبار انجام پذیرفت. در هنگام شروع آزمایش، هر موش بدون داشتن آشنایی قبلی با دستگاه در بخش ابتدایی بازوی شروع یا بازوی A قرار گرفت. در این زمان، درب گیوتینی دستگاه بسته بود. با برداشتن درب گیوتینی

روشنایی و تاریکی طبیعی، در دمای ۲۱-۲۳ درجه سانتی‌گراد با دستریسی آزاد به غذا و آب نگهداری شدند. حیوانات به صورت تصادفی به ۴ گروه یکسان تقسیم شدند که عبارت بودند از:

۱. گروه شم یا Sham-operated: در این گروه، موش‌های سالمی قرار داشتند که بر روی آن‌ها جراحی استریوتاکسیک با تزریق داخل هیپوکامپی نرمال سالین انجام شد.

۲. گروه شم و دریافت‌کننده متفورمین که این ماده را به میزان ۲۰۰ میلی‌گرم بر کیلوگرم از یک هفته قبل از جراحی، به‌طور روزانه تا یک ساعت قبل از جراحی و به‌فرم داخل صفاقی حل شده در نرمال سالین دریافت نمودند.

۳. گروه Lesion یا β-آمیلوئید: در این گروه برای ایجاد مدل بیماری آلزایمر، ماده (25-35) Aβ با دوز ۱۰ $\mu\text{g}/2\text{ml}$ به درون ناحیه هیپوکامپ پشتی به صورت دو طرفه تزریق گردید. تزریق بدین صورت انجام شد که به هر طرف از مغز با مختصات -3.5 Anteroposterior و Deep: -2.8 Lateral: ±2 تزریق گردید.

۴. گروه Lesion یا β-آمیلوئید دریافت‌کننده متفورمین که این ماده را به میزان ۲۰۰ میلی‌گرم بر کیلوگرم از یک هفته قبل از جراحی به‌طور روزانه تا یک ساعت قبل از جراحی، حل شده در نرمال سالین دریافت نمودند و در زمان جراحی -β-آمیلوئید را مشابه گروه ۳ دریافت نمود.

در پایان هفته سوم پس از جراحی، تمامی گروه‌ها مورد آزمایش‌های رفتاری مربوط به یادگیری و حافظه قرار گرفتند.

برای انجام جراحی استریوتاکسیک، موش‌های صحرایی نر با استفاده از تزریق درون صفاقی کتابمین (۱۰۰ میلی‌گرم بر کیلوگرم وزن بدن) و زایلازین (۲۰ میلی‌گرم بر کیلوگرم وزن بدن) بیهوش شدند. پس از تراشیدن موهای سر حیوان، آن را در داخل دستگاه استریوتاکس قرار دادیم. پوست سر حیوان با استفاده از بتادین ضدعفونی شد و چشم حیوان با استفاده از پمادهای استریل چشمی مرطوب نگه داشته شد. پس از

گیوتینی ارتباط دهنده محفظه روشن و تاریک کاملاً بسته بود. در انتهای دوره، لامپ محفظه روشن شده و درب گیوتینی باز گردید. به محض باز کردن درب، کرونومتر به کار اندخته شد و مدت زمانی که طول کشید تا حیوان از محفظه روشن به محفظه تاریک برود، یادداشت گردید که این تأخیر اولیه زمانی، تحت عنوان تأخیر اولیه یا IL اطلاق گردید (ملک برای ورود حیوان به محفظه تاریک، عبور اندام‌های حرکتی پشتی حیوان از درب ارتباط دهنده دو محفظه بود). سپس، درب پایین آورده شد و یک تک شوک به حیوان وارد آمد. در پایان کار پس از ۱ دقیقه، حیوان به قفس منتقل گردید. در ارتباط با این مرحله، موش‌های با تأخیر اولیه بیشتر از ۶۰ ثانیه از آزمایشات حذف گردیدند.

نگهداری اطلاعات: این مرحله ۲۴ ساعت پس از مرحله دوم، در روز چهارم انجام پذیرفت. این مرحله مشابه مرحله قبل بود؛ با این تفاوت که زمانی که حیوان به محفظه تاریک وارد می‌شد، هیچ‌گونه شوکی را دریافت نمی‌کرد. در این مرحله، تأخیر در حین عبور یا STL اندازه‌گیری گردید. منظور از تأخیر در حین عبور، مدت زمانی است که قبل از آنکه حیوان وارد محفظه تاریک شود، در محفظه روشن باقی می‌ماند. زمان قطع آزمایش (Cut off) نیز ۳۰۰ ثانیه در نظر گرفته شد.

روش تجزیه و تحلیل داده‌ها

در این تحقیق، نتایج به صورت Mean \pm SEM بیان شدند. برای مقایسه بین گروهی، نتایج با استفاده از آزمون آنواری یک‌طرفه و تست توکی انجام شد و P کمتر از ۰/۰۵ به عنوان سطح معنی‌دار در نظر گرفته شد. از نرم‌افزار Sigma Stat 3.5 برای آنالیز نتایج و از برنامه Excel 2013 برای رسم نمودارها استفاده شد.

آزمایش شروع شد. در طی هشت دقیقه، بازوهایی را که موش وارد آن‌ها شده بود (با این ملاک که قاعدة دم حیوان وارد بازو شده باشد) به ترتیب یادداشت شد. در پایان هشت دقیقه، موش از دستگاه خارج شده و به قفس خود بازگردانده شد. در پایان، بازوهایی که حیوان به آن‌ها وارد شده بود، بدون احتساب بازوی شروع در توالی‌های سه‌تایی دسته‌بندی گردیده، دسته‌هایی که در آن‌ها بازوی تکراری وجود داشت حذف شد و براساس فرمول زیر درصد تناوب محاسبه گردید:

$$\text{alteration percentage} = \frac{\text{ACTUAL ALTERATION}}{\text{MAXIMAL ALTERATION} - 2} \times 100$$

علاوه بر این، تعداد بازوهایی که هر حیوان در طول مدت انجام آزمایش به آن‌ها وارد می‌شد نیز مورد مقایسه قرار می‌گرفت.

استفاده از shuttle box برای بررسی رفتار اجتنابی غیرفعال

برای بررسی رفتار اجتنابی (احترازی) غیرفعال، از یک دستگاه به ابعاد $80 \times 20 \times 20$ سانتی‌متر (شاپل باکس) دارای یک محفظه روشن و یک محفظه تاریک استفاده شد. از میله‌های فلزی موجود در کف محفظه تاریک برای شوک‌دادن به پای حیوان استفاده شد. برای اعمال تحریک به محفظه تاریک، از دستگاه استیمولاتور خاص (بهبودپرداز، تهران) استفاده گردید. بدین منظور، تک تحریکی به شدت یک میلی‌آمپر و به مدت یک ثانیه اعمال گردید. در این مطالعه، روش بررسی رفتار اجتنابی (احترازی) غیرفعال پس از بررسی به شرح زیر بود:

سازش: در این مرحله، قبل از شروع آزمایش، هر حیوان برای ۲ روز متوالی حداقل به مدت ۵ دقیقه در داخل دستگاه قرار داده شد.

اکتساب: در این مرحله (روز سوم) حیوان در محفظه روشن قرار داده شد و به مدت ۵ دقیقه، این محفظه تاریک نگه داشته شد. در این مدت، درب

نتایج

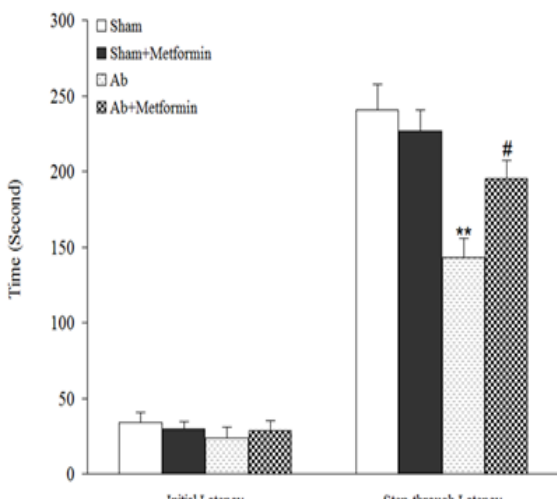
نتایج حاصل از آزمون اجتنابی غیرفعال

موس های صحرایی که با تزریق ۲ میکرولیتر از ماده $\text{A}\beta$ (۲۵-۳۵) (با دوز $10\mu\text{g}/2\mu\text{l}$) به درون ناحیه CA1 هیپوکامپ پشتی به صورت دوطرفه آلزایمری شده بودند، نسبت به گروه شم دارای میانگین میزان تأخیر اولیه کمتری بودند که این کاهش معنی دار نبود. در موس های صحرایی آلزایمری شده ای که از یک هفته قبل از جراحی استریوتاکسی و تزریق $\text{A}\beta$ به آن ها، به طور روزانه تا یک ساعت قبل از جراحی و به فرم داخل صفاقی به میزان ۲۰۰ میلی گرم بر کیلو گرم با متغور مین تیمار شدند. افزایش غیر معنی دار میانگین میزان تأخیر اولیه، در مقایسه با گروه آلزایمری وجود داشت.

در مرور گروه شم نیز که همان میزان متغور مین را با روش مذکور دریافت کرده بودند نیز کاهش غیر معنی دار زمان تأخیر اولیه در مقایسه با گروه شم به دست آمد (نمودار ۱).

در مرحله بعدی آزمون اجتنابی غیرفعال که تأخیر در حین عبور را در موس های صحرایی بررسی می کرد، کاهش معنی دار تأخیر در حین عبور در گروه آلزایمری نسبت به گروه شم در پایان کار به خوبی مشاهده گردید ($p < 0.01$), هرچند این کاهش به طور غیر معنی دار در گروه آلزایمری که قبل از عمل جراحی تحت تیمار با متغور مین قرار گرفته بودند نیز نسبت به گروه شم وجود داشت. به علاوه، تفاوت بین دو گروه آلزایمری و آلزایمری تیمار شده از نظر آماری معنی دار بود ($p < 0.05$).

همچنان، تیمار موس های صحرایی گروه شم با متغور مین نیز کاهش غیر معنی دار تأخیر در حین عبور را در مقایسه با گروه شم بدنبال داشت ($p > 0.05$) (نمودار ۱)



نمودار ۱. میزان تأخیر اولیه و میزان تأخیر در حین عبور در آزمون اجتنابی غیرفعال در گروه های شم، شم تیمار شده با متغور مین، آلزایمری ($\text{A}\beta$) و آلزایمری تیمار شده با متغور مین در هفتۀ چهارم پس از جراحی
 $p < 0.01$ (در مقایسه با گروه شم)، $# p < 0.05$ (در مقایسه با گروه آلزایمری ($\text{A}\beta$))

نتایج حاصل از آزمون ماز Y

آزمون ماز Y که شاخصی از حافظه فضایی در جوندگانی نظیر موس صحرایی می باشد، نشان داد که میانگین درصد رفتار تناوبی در حیوانات گروه آلزایمری شده با (۲۵-۳۵) $\text{A}\beta$ به طور معنی دار کمتر از گروه شم بود ($p < 0.01$).

میزان درصد رفتار تناوبی در گروه آلزایمری تیمار شده با متغور مین، تفاوت معنی دار با گروه آلزایمری نشان نداد؛ هرچند میزان کاهش آن نسبت به گروه آلزایمری کمتر بود و همچنان تجویز متغور مین به موس های صحرایی گروه شم نیز تغییر معنی دار در مقایسه با گروه شم ایجاد نکرد (نمودار ۲).

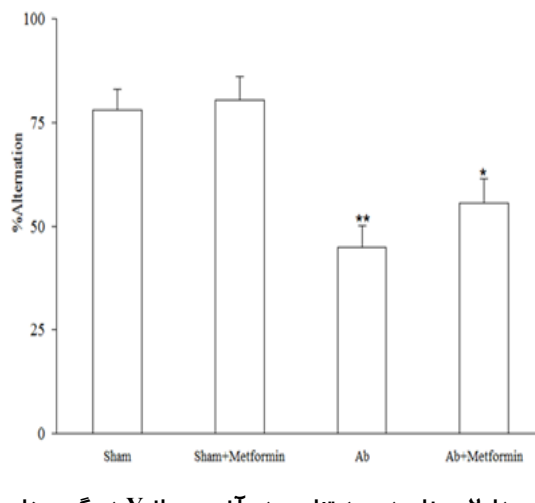
بحث

آمیلوئید بتا طی فرایندی پروتولیتیک از پروتئین پیش‌ساز خود که یک گلیکوپروتئین عرض غشایی است و APP نام دارد، شکل می‌گیرد. APP توسط ۳ آنزیم پروتولیتیک شکسته می‌شود. آنزیم‌های آلفا، بتا و گاما سکرتاز، به ترتیب پروتئین را در اسیدهای آمینه آغازگر است که روی APP اثر کرده و محل اثر آن، انتهای N ناحیه پیتید آمیلوئید بتا می‌باشد و ۲ قطعه تشکیل می‌شود، سپس آنزیم γ سکرتاز وارد عمل شده و بر انتهای C که حاوی پیتید آمیلوئید بتا است اثر کرده و ۲ قطعه پیتیدی تشکیل می‌شود که به ترتیب پیتیدهایی به نام آمیلوئید بتا ۴۰ (دارای ۴۰ آمینواسید) و آمیلوئید بتا ۴۲ می‌باشند (۱۰).

در حالت عادی مقدار این قطعات در سلول کم است و به سرعت تجزیه می‌شود؛ اما اگر در پروتئوم سلول‌های عصبی این تعادل بر هم بخورد و مقدار این قطعات افزایش یابد، ساختارهای پروتئینی کروی و درنتیجه آلزایمر ایجاد می‌شود (۱۱). بدلیل مشاهده آسیب‌رسانی بیشتر توالی ۴۲ واحدی آمیلوئید بتا، مطالعات درمانی بیشتر بر روی این توالی متمرکز شده است (۱۱). سطوح نسبی A β 42 زمینه‌ساز اختلال نورونی و زوال عقل است (۱۲).

علاوه‌بر این، نشان داده شده که A β 42 به صورت فیریل‌های آمیلوئید به علاوه میانجی‌های محلول، بسیار آسان‌تر از A β 40 تجمع می‌یابند (۱۳). فیریل‌های A β موجب دیستروفی نورونی (۱۴) و تولید رادیکال‌های آزاد (۱۵) و شکل‌های مختلفی از آسیب پیش‌اسایشی می‌شوند (۱۶).

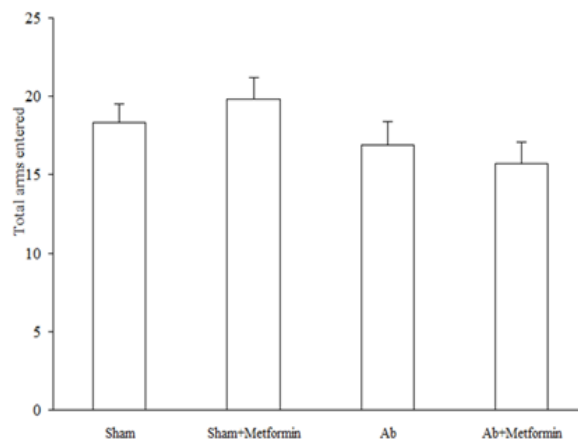
پروتئین A β 42 هم در آستروسیت‌ها و هم در نورون‌ها، موجب ایجاد گونه‌های واکنش‌پذیر اکسیژن (Reactive Oxygen Species) از طریق NADPH اکسیداز می‌شود (۱۷). فشار اکسایشی هنگامی اتفاق می‌افتد که تولید گونه‌های واکنش‌پذیر اکسیژن (ROS) بر توانایی پاک‌سازی آنتی‌اکسیدان‌ها غالب شوند (۱۸). افزایش فشار اکسایشی در پاتولوژی چندین بیماری مانند



نمودار ۲. میزان درصد تناوب در آزمون ماز Y در گروه‌های شم، شم تیمارشده با متiformین، آلزایمری (A β) و آلزایمری تیمارشده با متiformین در هفتۀ چهارم پس از جراحی.

P<0.05*, P<0.01** (در مقایسه با گروه شم)

نمودار ۳ نتایج مربوط به میزان تحرک حیوان را در آزمون Y maze در موش‌های گروه‌های مختلف نشان می‌دهد. برای این منظور، تعداد کل بازوهای واردشده در هر جلسه به عنوان شاخصی از میزان تحرک حیوان لحاظ شد. از این نظر عملاً تفاوت معنادار و در حد چشمگیر بین گروه‌های مختلف مشاهده نشد که خود به خوبی نشان‌دهنده آن است که اعمال انجام شده در مرور آن‌ها به طور محسوسی بر رفتار حرکتی حیوان تأثیر نداشته است.



نمودار ۳. تعداد کل ورود به بازوها در آزمون ماز Y در گروه‌های شم، شم تیمارشده با متiformین، آلزایمری (A β) و آلزایمری تیمارشده با متiformین در هفتۀ چهارم پس از جراحی.

مکانیسم‌های پاتولوژیک در روند بیماری نیز سودمند می‌باشند. با توجه به عدم درک کامل دلیل بیماری آلزایمر، باید در هنگام استفاده از مدل‌های حیوانی، به محدودیت‌های هر کدام دقت داشت. در مطالعه‌ما نیز در بررسی‌ها و نتایج از مدل حیوانی استفاده گردیده است.

همان‌طور که در نتایج ما نشان داده شد که در آزمون شاتل باکس در گروه آلزایمری در موش‌های آلزایمری با تزریق داخل بطنی بتا آمیلوئید، کاهش تأخیر در حین عبور داشتیم که با توجه به مدل ایجاد شده قابل انتظار است. درمان با متفورمین به طور معناداری مانع کاهش تأخیر در حین عبور در موش‌های آلزایمری گردید. به عبارت دیگر، موش‌های آلزایمری تیمارشده با متفورمین میزان تأخیر حین عبوری بالاتری نسبت به موش‌های آلزایمری بدون تیمار داشتند.

در آزمون حافظه فضایی به طور مشابهی در موش‌های آلزایمری شده با تزریق داخل بطنی بتا آمیلوئید، میزان درصد تناوب در مقایسه با موش‌های کنترل به طور معناداری کاهش یافته بود. در موش‌های آلزایمری تیمارشده با متفورمین، درصد تناوب نسبت به گروه کنترل کاهش یافت؛ ولی این میزان درصد تناوب گرچه بالاتر از گروه تیمارشده با متفورمین بود، ولی تفاوت با گروه تیمارشده و نشده معنادار نبود.

براساس مطالعات فارماکولوژیک، متفورمین می‌تواند از سد خونی-مغزی عبور کرده و اثرات ویژه‌ای بر سیستم اعصاب مرکزی اعمال نماید، گرچه مکانیسم دقیق و محل اثر آن مشخص نشده است. به علاوه، اطلاعات متناقضی درباره اثرات مفید و اثرات مضر متفورمین بر بافت مغز موجود است. مطالعات خارج از بدن موجود زنده (*in vitro*) اخیراً نشان داده است که متفورمین تولید آمیلوئید بتا و هیپرفسفیریلاسیون پرتوئین تائو، یافته‌های مشابه بیماری آلزایمر، در یک رده سلول عصبی تمایز یافته که تحت هیپر انسلوینی مزمن قرار گرفته‌اند را کاهش می‌دهد (۷). کیک اشتین و همکاران، با استفاده از سلول‌های عصبی نوع وحشی و موش‌های ترنس ژنیک انسانی گزارش کردند که

دیابت و آلزایمر نشان داده شده است (۱۹). افزایش قند خون از طریق افزایش تولید ROS با فشار اکسایشی مرتبط است (۲۰).

تغییرات در هموستاز انسلوین و گلوکز در سطح محیطی بدن ممکن است انسلوین مغز و عملکرد گیرنده‌اش را تحت تأثیر قرار دهد و سبب افزایش الیکومریزاسیون آمیلوئید بتا و هایپرفسفیریلاسیون تائو شود (۲۱).

مطابق نظریه آمیلوئید، این پروتئین با تشکیل توده‌های فیبری نامحلول و توده‌های تجمع یافته محلول که با تغییر ساختار ثانویه مارپیچ آلفا به صفحات بتا همراه است، به سلول‌های عصبی، پایانه‌های سیناپسی و دیواره عروق خونی آسیب وارد می‌کند (۲۲). توده‌های فیبری نامحلول با تهشیش شدن در محیط برون‌سلولی سیستم اعصاب مرکزی، ارتباط سیناپسی سلول‌های عصبی را قطع کرده و از تشکیل و یا انتقال پتانسیل عمل جلوگیری می‌کند که درنهایت باعث مرگ سلول عصبی می‌شود (۲۳). توده‌های محلول نیز علاوه بر اینکه همانند توده‌های نامحلول با حمله به پایانه‌های سیناپسی و قطع ارتباط سلول‌های عصبی، باعث آسیب رساندن به سیستم اعصاب مرکزی می‌شوند (۲۴)، با حمله به غشای سلول عصبی و ایجاد حفره در سطح غشاء، تعادل یونی داخل و خارج سلول عصبی را برهم می‌زنند و با تأخیر در ایجاد پتانسیل عمل، از شکل‌گیری و انتقال پتانسیل عمل مناسب جلوگیری می‌کنند (۲۵-۲۶). برای ایجاد مدل تجربی بیماری آلزایمر در جوندگان از تزریق داخل بطنی یا داخل هیپوکمپی بتا آمیلوئید استفاده می‌شود که بعد از گذشت یک هفته با اختلال یادگیری و حافظه همراه می‌باشد (۲۷).

موسهای صحرایی به طور مؤثری به عنوان یک مدل در تحقیقات در زمینه علوم اعصاب به کار گرفته می‌شوند. همچنین درمورد مدل آلزایمر یکی از پرطرفدارترین مدل‌ها می‌باشد. مدل‌های حیوانی همان‌طور که برای ارزیابی روش‌های درمانی برای بیماری در انسان سودمند هستند، برای شناخت

امر، نیاز به بررسی بیشتر و دقیق‌تر در این زمینه دارد. به طور خلاصه، نتایج مطالعه کنونی نشان‌دهنده این است که احتمالاً در موش‌های صحرایی که تحت مدل‌سازی بیماری آلزایمر قرار گرفته‌اند، درمان مزمن با متفورمین باعث افزایش حافظه در آزمون اجتنابی غیرفعال و درون شاتل باکس شده؛ ولی این درمان به طور مزمن اثری بر مدل حافظه فضایی در موش صحرایی نر ندارد. براساس این یافته‌ها و همچنین یافته‌های قبلی، احتمال دارد که داروی ضد دیابتی متفورمین به عنوان درمان بیماری آلزایمر و انواع بیماری‌های زوال عقل در انسان کاندید مناسبی باشد و بتوان با پیشرفت تحقیقات و همچنین افزایش داده‌ها در مرور نحوه پاتوفیزیولوژی، از آن به عنوان دارویی مؤثر بهره برد.

تقدیر و تشکر

پژوهش حاضر حاصل پایان‌نامه دانشجوی پزشکی مهدی نصیری، مصوب معاونت پژوهشی دانشکده پزشکی دانشگاه شاهد در سال ۱۳۹۳ می‌باشد و با حمایت مالی این دانشگاه به‌انجام رسیده است که بدین‌وسیله تشکر می‌گردد.

منابع

- Budson AE, Solomon PR. New criteria for Alzheimer disease and mild cognitive impairment: implications for the practicing clinician. *Neurology* 2012; 18 (6): 356-63.
- Green RC, Cupples LA, Go R, Benke KS, Edeki T, Griffith PA, et al. Risk of dementia among white and African American relatives of patients with Alzheimer disease. *JAMA* 2002; 2(87): 329-336.
- Budson AE, Solomon PR. New diagnostic criteria for Alzheimer's disease and mild cognitive impairment for the practical neurologist. *Practical Neurology* 2012; 12:88-96.
- Holtzman DM, Mandelkow E, Selkoe DJ. Alzheimer disease in 2020. *Cold Spring Harb Perspect Medicine* 2012 1; 2(11): 136-140.
- Raffie E, Salemi Z, Ghaffari MA, Goodarzi MT. The effect of metformin, acarbose and their combination on visfatin level in nicotinamide/streptozotocin-induced type 2 diabetic rats. *Daneshvar Journal* 2014; 22(113):53-62.
- Selkoe DJ. Alzheimer disease: mechanistic understanding predicts novel therapies. *Annual of Internal Medicine* 2004; 140: 627–638.
- Labuzek K1, Liber S, Gabryel B, Adamczyk J, Okopień B. Metformin increases phagocytosis and acidifies lysosomal/endosomal compartments in AMPK-dependent manner in rat primary microglia. *Naunyn Schmiedebergs Archives of Pharmacology* 2010; 381(2):171-86.

داروی ضد دیابتی متفورمین باعث القای فعالیت پروتئین فسفاتاز (PP2A) و کاهش فسفوریلاسیون پروتئین تائو به صورت وابسته به اپی‌توپ‌های PP2A گردید (۲۸).

چندین مطالعه حیوانی از اثرات مثبت متфорمین حمایت می‌کنند. قبل‌نشان داده شده است که متфорمین باعث القای نوروژن و افزایش حافظه فضایی در موش‌های صحرایی، کاهش استرس اکسیداتیو در مغز موش‌های صحرایی و مانع کاهش تکثیر سلولی و تمایز نوروبلاست‌ها در ناحیه ساب گرانولار شیار دندریت هیپوکامپ در موش‌های چاق دیابتی شده است (۲۹-۳۱). همچنین پیش‌درمانی حاد با متфорمین باعث نوروپروتکشن علیه ایسکمی مغزی متعاقب آن شده و درمان مزمن با متфорمین باعث بهبودی در دوره پس از حمله مغزی به‌وسیله افزایش آنزیوژن گردید. این اثرات با واسطه AMPK فعال شده رخ می‌دهند (۳۲).

متфорمین یک داروی بسیار مؤثر ضد دیابتی بوده که گرچه مکانیسم‌هایی برای آن در نظر گرفته شده است؛ ولی مکانیسم اصلی آن هنوز مشخص نشده است. به علاوه در مطالعه‌ما مشخص نیست که متфорمین با چه مکانیسمی مانع کاهش حافظه در آزمون شاتل باکس درموش‌های آلزایمری شد. مشخص شدن این

8. Abd-Elsameea AA, Moustaf AA, Mohamed AM. Modulation of the oxidative stress by metformin in the cerebrum of rats exposed to global cerebral ischemia and ischemia/reperfusion. *European Review for Medical and Pharmacological Sciences* 2014; 18(16):2387-92.
9. Shafizadeh A, Rezaei A, Rahbani Nobar M, Mohajeri D, Rahmani J. The effect of metformin on serum glucose and lipid profiles and oxidative stress in alloxan-induced diabetic rats. *Comparative Pathology* 1392, 10: 865-872.
10. Olsson F, Schmidt S, Althoff V, Munter LM, Jin S, Rosqvist S, et al. Characterization of intermediate steps in amyloid beta (A β) production under near-native conditions. *Journal of Biological Chemistry* 2014; 289 (3): 1540-1550.
11. Esch FS, Keim PS, Beattie EC, Blacher RW, Culwell AR, Oltersdorf T, et al. Cleavage of amyloid beta peptide during constitutive processing of its precursor. *Science* 1992; 248:1122-1124.
12. Younkin SG. The role of A Beta 42 in Alzheimer's disease. *Journal of Physiology (Paris)* 1998; 92:289-292.
13. Levites Y, Das P, Price RW, Rochette MJ, Kostura LA, McGowan EM, et al. Anti-A beta42- and anti-A beta40-specific mAbs attenuate amyloid deposition in an Alzheimer disease mouse model. *Journal of Clinical Investigation* 2006; 116 (1): 193-201.
14. Zhang CE, Wei W, Liu YH, Peng JH, Tian Q, Liu GP, et al. Hyperhomocysteinemia Increases β -Amyloid by Enhancing Expression of γ -Secretase and Phosphorylation of Amyloid Precursor Protein in Rat Brain. *The Australian Journal of Pharmacy* 2009; 174:4.
15. Butterfield DA. Amyloid beta-peptide [1-42]-associated free Radical-induced oxidative stress and neurodegeneration in Alzheimer's disease brain: Mechanisms and consequences. *Current Medicinal Chemistry* 2003; 10: 2651-2659.
16. Schubert D, Behl C, Lesley R, Brack A, Dargusch R, Sagara Y, et al. Amyloid peptides are toxic via a common oxidative mechanism. *Proceedings of the National Academy of Sciences of the United States of America* 1995; 92: 1989-1993.
17. Shelat PB, Chalimonik M, Wang JH, Strosznajder JB, Lee JC, Sun AY, et al. Amyloid beta peptide and NMDA induce ROS from NADPH oxidase and AA release from cytosolic phospholipase in cortical neurons. *Journal of Neurochemistry* 2008; 106(1): 45-55.
18. Delmastro MM, Piganelli JD. Oxidative Stress and Redox Modulation Potential in Type 1 Diabetes. *Clinical and Developmental Immunology* 2011; 593863:1-15.
19. Moreira PI, Santos MS, Seiça R, Oliveira CR. Brain mitochondrial dysfunction as a link between Alzheimer's disease and diabetes. *Journal of the Neurological Sciences* 2007; 257: 206-214.
20. Du XL, Edelstein D, Rossetti L, Fantus IG, Goldberg HJ, Ziyadeh F, et al. Hyperglycemia induced mitochondrial superoxide overproduction activates the hexosamine pathway and induces plasminogen activator inhibitor-1 expression by increasing Sp 1 glycosylation. *Proceedings of the National Academy of Sciences of the United States of America* 2000; 97: 1222-1226.
21. Roriz-Filho JS, Sá-Roriz TM, Rosset I, Camozzato AL, Santos AC, Chaves MLF, et al. (Pre)diabetes, brain aging, and cognition. *Biochimica et Biophysica Acta*. 2009; 1792: 432-443.
22. Tay W, Huang D, Rosenberry T, Paravastu A. The Alzheimer's Amyloid- β (1-42) Peptide Forms Off-Pathway Oligomers and Fibrils That Are Distinguished Structurally by Intermolecular Organization. *Journal of Molecular Biology* 2013; 425:2494-2508.
23. Pozueta J, Lefort R, Shelanski M. Synaptic changes in Alzheimer's disease and its models. *Neuroscience* 2013; 251:51-65.
24. Vetrivel K, Thinakaran G. Membrane rafts in Alzheimer's disease beta-amyloid production. *Biochimica et Biophysica Acta (BBA)- Molecular and Cell Biology of Lipids* 2010; 1801: 860-867.
25. Lal R, Lin H, Quist A. Amyloid beta ion channel: 3D structure and relevance to amyloid channel paradigm. *Biochimica et Biophysica Acta (BBA)- Biomembranes* 2007; 1768: 1966-1975.
26. Grösgen S, Grimm M, Friess P, Hartmann T. Role of amyloid beta in lipid homeostasis. *Biochimica et Biophysica Acta (BBA) - Molecular and Cell Biology of Lipids* 2010; 1801:966-974.
27. Kang EB, Cho JY. Effects of treadmill exercise on brain insulin signaling and β -amyloid in intracerebroventricular streptozotocin induced-memory impairment in rats. *Journal of Exercise Nutrition & Biochemistry* 2014; 18(1):89-96.

28. Wang J, Gallagher D, DeVito LM, Cancino GI, Tsui D, He L, et al. Metformin activates an atypical PKC-CBP pathway to promote neurogenesis and enhance spatial memory formation. *Cell Stem Cell* 2012; 11:23-35.
29. Correia S, Carvalho C, Santos MS, Proen  a T, Nunes E, Duarte AI, et al. Metformin protects the brain against the oxidative imbalance promoted by type 2 diabetes. *Medicinal Chemistry* 2008; 4:358-64.
30. Hwang IK, Kim IY, Joo EJ, Shin JH, Choi JW, Won MH, et al. Metformin normalizes type 2 diabetes-induced decreases in cell proliferation and neuroblast differentiation in the rat dentate gyrus. *Neurochemical Research* 2010; 35:645-50.
31. Jiang T, Yu JT, Zhu XC, Shin JH, Choi JW, Won MH, et al. Acute metformin preconditioning confers neuroprotection against focal cerebral ischaemia by pre-activation of AMPK-dependent autophagy. *British Journal of Pharmacology* 2014; 171:3146-57.
32. Venna VR, Li J, Hammond MD, McCullough LD. Chronic metformin treatment improves post-stroke angiogenesis and recovery after experimental stroke. *European Journal of Neuroscience* 2014; 39:2129-38.

Daneshvar
Medicine

The effect of metformin on learning and spatial memory in experimental model of Alzheimer's disease induced by beta amyloid in rat

Tajmah Mombeini¹, Mehdi Nasiri², Jamshid Narenjkar¹, Mehrdad Roghani^{3*}

1. Department of Pharmacology, School of Medicine, Shahed University, Tehran, Iran.
2. School of Medicine, Shahed University, Tehran, Iran.
3. Neurophysiology Research Center, Shahed University, Tehran, Iran.

* Corresponding author e-mail: mehjour@yahoo.com

Abstract

Background and Objective: Alzheimer Disease (AD) has a progressive and degenerative course on brain nerve cells due to deposition of beta amyloid and Tau protein. AD is associated with memory impairment with no eradication cure. Metformin is a hypoglycemic drug that helps control diabetes mellitus type 2. Recently, neuroprotective and anti-inflammatory effect on nerve tissue and reductive effect on deposition of beta-amyloid and anti-oxidative stress effect of it has been proved. This study was done based on alzheimer modeling in rodents with injecting beta amyloid and to evaluate the effect of metformin treatment on its course.

Material and Methods: In this research study, 32 male rats were used. Rats were randomly divided into 4 groups. First group was healthy ones that treated with saline (sham), 2nd ones whom received metformin, 3rd group received normal saline and made alzheimeric (lesion) and last group was made alzheimeric and treated with metformin. The 2nd and 4th groups were treated with intraperitoneal metformin for 1 week before stereotaxic operation. For induction of AD, stereotaxic operation with injection of beta amyloid into hippocampus was made. After three weeks, for learning and memory assessment, passive-avoidance behaviour and Y-maze procedure were used.

Results: In comparison to sham group, lesion group had a lower average initial delay that this reduction was not statistically significant. The second lesion group had insignificant increase in the average initial delay, in comparison with other lesion group. The sham groups received the same amount of metformin had also non-significant reduction in initial delay time compared to the sham groups. Passive avoidance test in rats that had significantly decreased in the group with Alzheimer's disease compared to the sham group ($p<0.01$), although this decline is insignificant in the second group of Alzheimer model as compared to the sham group. In addition, the difference between the two groups with Alzheimer's disease was statistically significant ($p<0.05$).

Conclusion: The results indicate that chronic treatment with metformin increases the passive-avoidance test memory in shuttle box, but has no effect on the spatial memory in rats. Metformin is likely to be an appropriate candidate in the treatment of Alzheimer's disease and the other different types of dementia in humans.

Key words: Beta-amyloid, Alzheimer's disease, Metformin, Passive avoidance behavior, Spatial memory

Received: 29/02/2016

Last revised: 12/04/2016

Accepted: 04/04/2016